

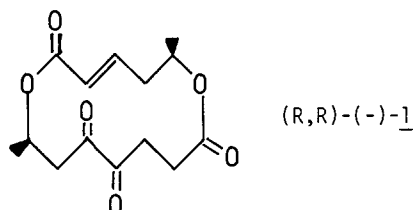
TOTALSYNTHÈSE DES MACRODIOLIDS (R,R)-(-)-GRAHAMIMYCIN A<sub>1</sub>

Hans-Jürgen Bestmann\* und Rainer Schobert

Institut für Organische Chemie der Universität Erlangen  
Nürnberg Henkestraße 42, D-8520 Erlangen

**Summary:** The title compound is synthesized by use of the easily accessible aldehyde 3 for establishing both chiral centres and of ketenylidetriphenylphosphorane for cyclization. In contrast to literature our product is not an antibiotic.

Ronald und Gurusiddaiyah<sup>1</sup> berichteten 1980 über die Isolierung von (-)-Grahamimycin A<sub>1</sub> aus bestimmten aerob gewachsenen Cytospora-Kulturen. Sie gaben ebenfalls einen Strukturvorschlag für 1 sowie einen Überblick über das antibiotische Wirkungsspektrum dieses wegen seiner 1,2-Diketo-Funktionalität ungewöhnlichen Macrodiolids. Die Synthesen von (S,S)-(+)-1 durch Seebach<sup>2</sup> und Ghiringhelli<sup>3</sup> und die 17-stufige Erstsynthese von (R,R)-(-)-1 durch Hillis und Ronald<sup>4</sup> sicherten dessen absolute Konfiguration.



Wie im Schema 1 gezeigt, verwendeten wir zum Aufbau beider chiraler Zentren in 1 das geschützte (R)-Acetalidol-derivat 3, das sich ausgehend von der preiswerten Poly-(R)-3-hydroxybuttersäure (PHB) 2 in wenigen Schritten darstellen lässt<sup>5</sup>.

Ein Aliquot des Aldehyds 3 wird mit dem Ylid 4 stereospezifisch in das (Z)-Olefin 5 umgewandelt, dessen basische Verseifung die Säure 7 ergibt. Den restlichen Aldehyd 3 überführt man mit Ethylenglykol und Pyridiniumtosylat als Katalysator unter gleichzeitigem Verlust der EE-Schutzgruppe in das Dioxolan 6. Die Veresterung von 7 mit 6 mit Dicyclohexylcarbodiimid (DCC) und N,N-Dimethyl-4-aminopyridin (DMAP) als Katalysator<sup>6</sup> führt zum Ester 8, dessen EE-Schutzgruppe sich unter Bildung des Alkohols 9 selektiv abspalten lässt. Durch Addition von 9 an Ketenyldetriphenylphosphorane 10<sup>7</sup> gelangt man zum Esterylid 11<sup>8,9</sup>, das nach der von uns beschriebenen Methode<sup>9</sup> zunächst mit 0.1 N Salzsäure unter gleichzeitiger Spaltung des Dioxolans zum entsprechenden Phosphoniumsalz protoniert wird. Die Cyclisierung zu 12 unter intramolekularer (E)-stereoselektiver Wittig-Olefinition erfolgt durch langsames Zutropfen der sauren Phosphoniumsalzlösung zu einem mit Toluol überschichteten basischen Puffer vom pH = 8.4<sup>9</sup>. m-Chlorperbenzoësäure schließlich epoxidiert die isolierte (Z)-Doppelbindung in 12 zum Gemisch der diastereomeren cis-Oxirane 13, die mit verdünnter Perchlorsäure zum Gemisch der diastereomeren 1,2-Diole 14 gespalten werden können. Während alle Methoden der Oxidation

von 14 zum 1,2-Diketon 1 mit den üblichen Chrom (VI)-Oxidantien aufgrund überwiegender C-C-Spaltung nur äußerst unbefriedigende Ausbeuten ergaben, gelangten wir, wie bereits in anderen Fällen<sup>10</sup>, unter Pfitzner-Moffatt - Bedingungen<sup>11</sup> (DMSO/DCC/Pyridiniumtrifluoracetat) in 50 % Ausbeute glatt zum Macrodioloid (-)-1. Alle physikalischen Daten stimmen mit denen des Naturstoffes<sup>1</sup> überein. Das <sup>1</sup>H-NMR-Spektrum ist mit dem des (+)-Enantiomeren identisch<sup>12</sup>.

Unser Syntheseprodukt wurde gegenüber 10 Stämmen von *Pseudomonas* spp. (non aeruginosa), 4 Stämmen von *Bacillus subtilis* und 6 Stämmen von *Bacillus cereus* getestet. Die maximale geprüfte Konzentration im Agarverdünnungstest betrug 125 mg/L. Es konnte keine antibakterielle Aktivität festgestellt werden<sup>13</sup>. Somit muß in Zweifel gezogen werden, daß (R,R)-(-)-Grahamycin A<sub>1</sub> ein Antibiotikum ist<sup>14</sup>.

Schema 1.:

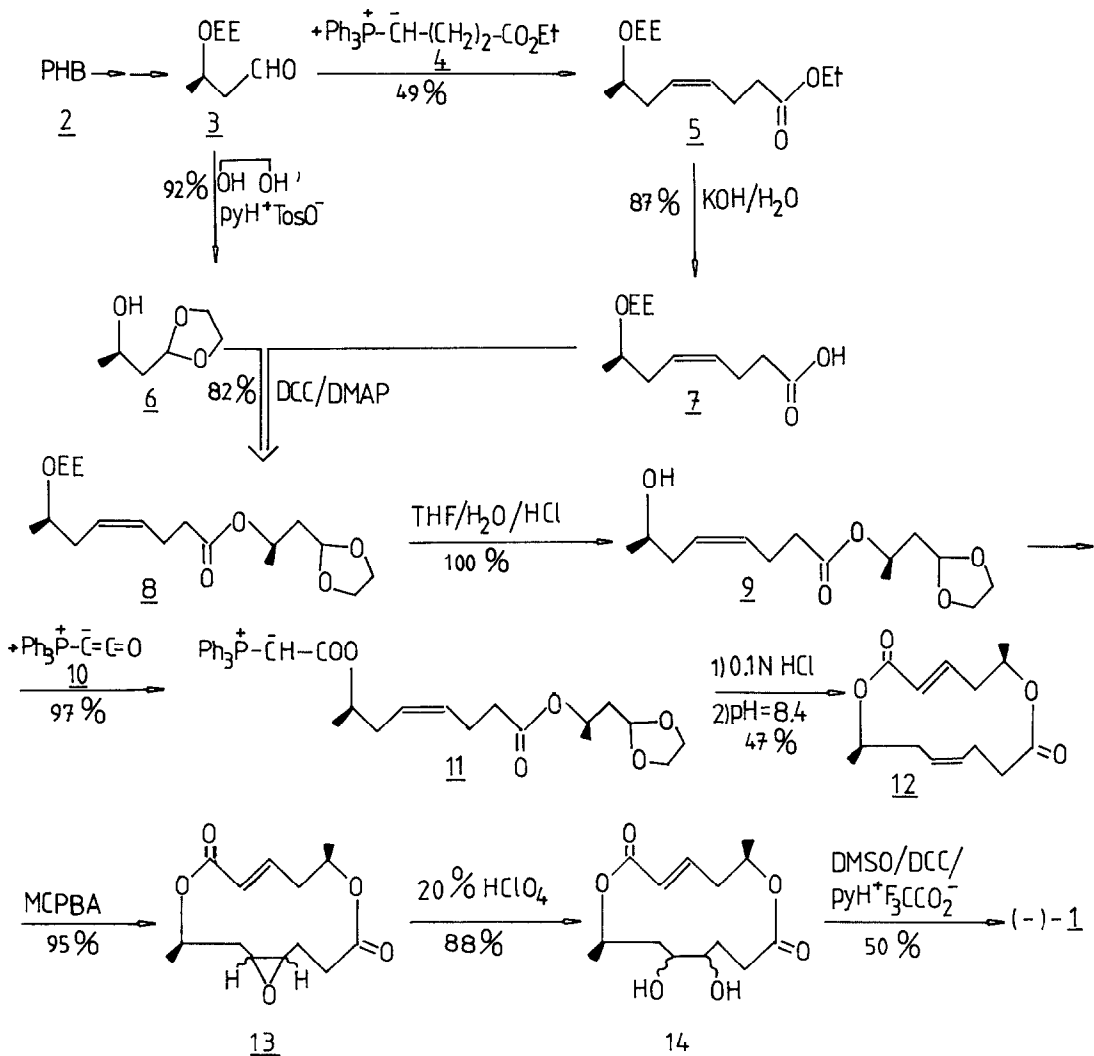


Tabelle 1. Einige physikalische Daten der Verbindungen 5 - 14 und 1. Alle  $^1\text{H}$ -NMR-Spektren bei 60 MHz in  $\text{CDCl}_3/\text{TMS}_{\text{int}}$ . Für die neuen Verbindungen 5 - 9 und 12 wurden korrekte Elementaranalysen erhalten.

5, gelbe Flüssigkeit,  $K_p=70^\circ\text{C}/0.1 \text{ Torr}$ ; -  $^1\text{H}$ -NMR:  $\delta=1.07-1.53$  (m, 12H), 2.17-2.60 (m, 6H), 3.47-3.90 (m, 3H), 4.17 (qua,  $J=7 \text{ Hz}$ , 2H), 4.76 (qua,  $J=7 \text{ Hz}$ , 1H), 5.40-5.63 ppm (m, 2H). - IR (100% Film):  $\nu=1740 \text{ cm}^{-1}$  (s, C=O).

6, farblose Flüssigkeit,  $K_p=42^\circ\text{C}/0.01 \text{ Torr}$ ;  $[\alpha]_D=-3.6^\circ$  ( $\text{CHCl}_3$ ,  $c=0.84 \text{ g}/100 \text{ mL}$ );  $^1\text{H}$ -NMR:  $\delta=1.25$  (d,  $J=6 \text{ Hz}$ , 3H), 1.83 (t,  $J=5 \text{ Hz}$ , 2H), 3.07 (s, br., 1H), 3.67-4.33 (m, 1H), 3.95 (m, 4H), 5.03 ppm (t,  $J=4 \text{ Hz}$ , 1H). - IR (100% Film):  $\nu=3450 \text{ cm}^{-1}$  (br., O-H).

7, gelbe Flüssigkeit, PSC:  $R_f=0.09$  (Kieselgel 60,  $\text{CH}_2\text{Cl}_2/\text{Ether}$  10+1); -  $^1\text{H}$ -NMR:  $\delta=1.07-1.51$  (m, 9H), 2.17-2.58 (m, 6H), 3.48-3.87 (m, 3H), 4.75 (qua,  $J=7 \text{ Hz}$ , 1H), 5.40-5.65 (m, 2H), 8.58 ppm (s, br., 1H). - IR (100% Film):  $\nu=3450$  (br., O-H), 1723 und  $1695 \text{ cm}^{-1}$  (s, C=O).

8, farblose Flüssigkeit,  $K_p=109^\circ\text{C}/0.01 \text{ Torr}$  (Kugelrohr); -  $^1\text{H}$ -NMR:  $\delta=1.00-1.47$  (mc, 12H), 1.53-2.09 (m, 2H), 2.13-2.59 (m, 6H), 3.33-4.06 (mc, 3H), 3.92 (m, 4H), 4.67-5.36 (m, 3H), 5.50 ppm (m, 2H). - IR (100% Film):  $\nu=1727$ ,  $1723 \text{ cm}^{-1}$ .

9, wachsartiger Feststoff;  $[\alpha]_D=-8.8^\circ$  ( $\text{Et}_2\text{O}$ ,  $c=1.0 \text{ g}/100 \text{ mL}$ ); -  $^1\text{H}$ -NMR:  $\delta=1.07-1.50$  (m, 6H), 1.52-2.06 (m, 2H), 2.23 (s, br., 1H), 2.30-2.60 (m, 6H), 3.73-4.13 (m, 1H), 3.90 (m, 4H), 4.92 (t,  $J=5 \text{ Hz}$ , 1H), 5.20 (m, 1H), 5.50 ppm (mc, 2H). - IR (100% Film):  $\nu=3390$  (br., O-H),  $1720 \text{ cm}^{-1}$  (C=O).

11, orangegelbes Öl; - IR (100% Film):  $\nu=1720$  (s, C=O<sub>Ester</sub>),  $1620-1600 \text{ cm}^{-1}$  (s, C=O<sub>Ylid</sub>) [a].

12, wachsartiger Feststoff,  $K_p=95^\circ\text{C}/0.005 \text{ Torr}$  (Kugelrohr),  $F_p=50-53^\circ\text{C}$  (Hexan);  $[\alpha]_D^{+63^\circ}$  ( $\text{CHCl}_3$ ,  $c=0.74 \text{ g}/100 \text{ mL}$ ); -  $^1\text{H}$ -NMR:  $\delta=1.23$  (d,  $J=7 \text{ Hz}$ , 6H), 2.03-2.73 (m, 8H), 4.77-5.40 (m, 2H), 5.33-5.50 (m, 2H), 5.83 (dt,  $J=16 \text{ Hz}$ ,  $J=1 \text{ Hz}$ , 1H), 7.03 ppm (dt,  $J=16 \text{ Hz}$ ,  $J=7 \text{ Hz}$ , 1H). - IR (100% Film):  $\nu=1735$ ,  $1720$ ,  $1705 \text{ cm}^{-1}$ .

13, Diastereomerengemisch,  $^1\text{H}$ -NMR:  $\delta=1.25$  (d,  $J=7 \text{ Hz}$ , 6H), 2.00-2.75 (m, 8H), 2.95-3.15 (m, 2H), 4.80-5.40 (m, 2H), 5.83 (dt,  $J=16 \text{ Hz}$ ,  $J=1 \text{ Hz}$ , 1H), 7.03 ppm (dt,  $J=16 \text{ Hz}$ ,  $J=7 \text{ Hz}$ , 1H).

14, Diastereomerengemisch,  $^1\text{H}$ -NMR:  $\delta=1.25$  (d,  $J=7 \text{ Hz}$ , 6H), 1.60-2.05 (m, 4H), 2.30 (s, br., 2H), 2.30-2.60 (m, 4H), 3.55-3.95 (m, 2H), 4.95-5.40 (m, 2H), 5.87 (dt,  $J=16 \text{ Hz}$ ,  $J=1 \text{ Hz}$ , 1H), 6.98 ppm (dt,  $J=16 \text{ Hz}$ ,  $J=7 \text{ Hz}$ , 1H).

1, hellgelbe Kristalle,  $F_p=89^\circ\text{C}$  (Diisopropylether) (Lit. 1 :  $F_p=91-92^\circ\text{C}$ );  $[\alpha]_D^{+14.2^\circ}$  ( $\text{CHCl}_3$ ,  $c=0.45 \text{ g}/100 \text{ mL}$ ) (Lit. 1 :  $[\alpha]_D^{+14.7^\circ}$  ( $\text{CHCl}_3$ ,  $c=0.76 \text{ g}/100 \text{ mL}$ ));  $^1\text{H}$ -NMR:  $\delta=1.20$  (d,  $J=6 \text{ Hz}$ , 3H), 1.35 (d,  $J=6 \text{ Hz}$ , 3H), 2.00-3.75 (mc, 8H), 4.75-5.45 (m, 2H), 5.60 (dt,  $J=16 \text{ Hz}$ ,  $J=1 \text{ Hz}$ , 1H), 6.80 ppm (dt,  $J=16 \text{ Hz}$ ,  $J=7 \text{ Hz}$ , 1H).  $^{13}\text{C}$ -NMR (100.4 MHz,  $\text{CDCl}_3$ ):  $\delta=197.3$  (s), 196.5 (s), 171.2 (s), 164.4 (s), 145.0 (d), 123.5 (d), 70.6 (d), 68.8 (d), 39.4 (t), 38.1 (t), 31.3 (t), 28.4 (t), 20.6 (q), 19.9 (q) ppm. - MS (70 eV):  $m/e=282$  ( $M^+$ ), 254, 154, 113.

[a] vgl. 1.c. 15

## Widmung

Diese Arbeit ist Herrn Professor Ulrich Schöllkopf zum 60. Geburtstag gewidmet.

## Literaturübersicht

1. R. C. Ronald, S. Gurusiddaiah, Tetrahedron Lett. 21 (1980) 681.
2. W. Seidel, D. Seebach, Tetrahedron Lett. 23 (1982) 159.
3. D. Ghiringhelli, Tetrahedron Lett. 24 (1983) 287.
4. R. L. Hillis, R. C. Ronald, J. Org. Chem. 50 (1985) 470.
5. a) D. Seebach, M. Züger, Helv. Chim. Acta 65 (1982) 495.  
b) E. Hungerbühler, D. Seebach, D. Wasmuth, Helv. Chim. Acta 64 (1981) 1467.  
c) K.P. Schnurrenberger, Dissertation ETH Nr. 7578 Zürich (1984).
6. a) B. Neises, W. Steglich, Angew. Chem. 90 (1978) 556; Angew. Chem. Int. Ed. Engl. 17 (1978) 522.  
b) A. Hassner, V. Alexanian, Tetrahedron Lett. 46 (1978) 4475.
7. a) H. J. Bestmann, D. Sandmeier, Chem. Ber. 113 (1980) 274.  
b) H. J. Bestmann, D. Sandmeier, Angew. Chem. 87 (1975) 630; Angew. Chem. Int. Ed. Engl. 14 (1975) 634.
8. a) H. J. Bestmann, Angew. Chem. 89 (1977) 361; Angew. Chem. Int. Ed. Engl. 16 (1977) 349.  
b) H. J. Bestmann, G. Schmid, D. Sandmeier, Chem. Ber. 113 (1980) 912.
9. H. J. Bestmann, R. Schobert, Angew. Chem. 95 (1983) 810; Angew. Chem. Int. Ed. Engl. 22 (1983) 780.
10. R. Schobert, Synthesis 1987 741.
11. K. E. Pfitzner, J. G. Moffatt, J. Am. Chem. Soc. 85 (1963) 3027.
12. Wir danken Herrn Prof. Dr. Seebach für die freundliche Überlassung des  $^1\text{H}$ -NMR-Spektrums von (+)-1.
13. Wir danken der Abteilung für Chemotherapie der Hoechst-AG für die Durchführung der Tests.
14. vgl. dazu Zitat 9 in l.c. 2.
15. H. J. Bestmann, H. Schulz, Liebigs Ann. Chem. 674 (1964) 11.

(Received in Germany 28 September 1987)